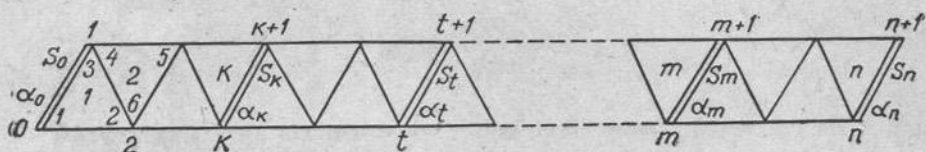


УДК 528.32.52

П. И. ЕФИМОВ

## О ПОСТРОЕНИИ И УРАВНИВАНИИ РЯДОВ ТРЕУГОЛЬНИКОВ ТРИАНГУЛЯЦИИ С ДОПОЛНИТЕЛЬНО ИЗМЕРЕННЫМИ СТОРОНАМИ

1. Общие соображения и оценка точности. Ряд треугольников триангуляции продолжает оставаться наиболее распространенной типовой фигурой построения геодезического обоснования для последующих маркшейдерских и геодезических работ, связанных с проектированием, стро-



Ряд треугольников триангуляции с дополнительно измеренными сторонами.

ительством и эксплуатацией различного рода инженерных сооружений. Вместе с тем звено треугольников триангуляции является основной схемой построения государственной геодезической сети 1-го класса.

Повысить точность элементов ряда треугольников триангуляции можно, в частности, путем дополнительных измерений его связующих сторон и определением азимутов (дирекционных углов) этих сторон. Очевидно, что дополнительные линейные измерения приведут при прочих равных условиях к уменьшению в основном ошибок вычисленных длин сторон и продольного сдвига ряда, а дополнительные азимутальные определения — к уменьшению ошибок азимутов (дирекционных углов) его сторон и величины поперечного сдвига. Совместное же проведение дополнительных линейных измерений и азимутальных определений скажется положительно на повышении точности элементов ряда во всей их совокупности. Вопрос о количестве и точности дополнительных линейных измерений и азимутальных определений решается при проектировании ряда в зависимости от конкретных технических условий.

Если вес измеренного угла принять за единицу, то  $P_s = \frac{m_\beta^2}{m_s^2}$  и  $P_\alpha = \frac{m_\beta^2}{m_\alpha^2}$ .

В дальнейших выводах нас будут интересовать величины, обратные весам сторон и азимутов. Обозначим их соответственно через  $q_s$  и  $q_\alpha$ . Приняв далее, что  $\Delta_{s_k}$  — изменение логарифма длины измеренной стороны при изменении длины на единицу измерения (мм, см, дм), а  $\delta_{3j-2}$  и  $\delta_{3j-1}$  — изменения логарифмов синусов связующих углов  $j$ -го треугольника при измерении их величин на  $1''$ , введем еще такие величины:

$$\omega_{s_k} = \Delta_{s_k}^2 q_{s_k}; \quad \omega_{\alpha_k} = q_{\alpha_k}; \quad R_j = \delta_{3j-2}^2 + \delta_{3j-1}^2 + \delta_{3j-2} \delta_{3j-1}.$$

При дополнительных измерениях связующих сторон ряда и определениях их азимутов, кроме условий фигур, возникает еще  $\lambda$  условий сторон и  $\lambda$  условий азимутов (дирекционных углов), причем  $\lambda$  — число частей ряда, на которое он разделился в результате дополнительных линейных измерений и азимутальных определений.

Применительно к обозначениям, принятым на рисунке, указанные условные уравнения азимутов (дирекционных углов) и сторон будут иметь вид:

$$\left. \begin{aligned} (\alpha_0) + \sum_1^k \mp (3_j) - (\alpha_k) + w_{\alpha_i} = 0; \\ (\alpha_k) + \sum_{k+1}^t \mp (3_j) - (\alpha_t) + w_{\alpha_s} = 0; \\ \dots \dots \dots \\ (\alpha_m) + \sum_{m+1}^n \mp (3_j) - (\alpha_n) + W_{\alpha_\lambda} = 0, \end{aligned} \right\} \quad (1)$$

$$\left. \begin{aligned} \Delta_0(s_0) + \sum_1^k \rho'_j - \Delta_k(s_k) + W_{s_1} = 0; \\ \Delta_k(s_k) + \sum_{k+1}^t \rho'_j - \Delta_t(s_t) + W_{s_2} = 0; \\ \dots \dots \dots \\ \Delta_m(s_m) + \sum_{m+1}^n \rho'_j - \Delta_n(s_n) + W_{s_\lambda} = 0. \end{aligned} \right\} \quad (2)$$

В уравнениях (1) и (2), кроме обозначений, принятых ранее,  $W_\alpha$  и  $W_s$  — свободные члены, а  $\rho'_j = \delta_{3j-2}(3_{j-2}) - \delta_{3j-1}(3_{j-1})$ .

Отнесем уравнения (1) и (2) ко второй группе и припишем к ним весовые функции для вычисленной связующей стороны или ее азимута той или иной части ряда. Сделав необходимые преобразования коэффициентов условных уравнений второй группы и соответствующей весовой функции по правилу Н. А. Урмаева, получим формулы для определения величин, обратных весам, в таком виде:

$$\frac{1}{P_{\alpha k(i)}} = \left( \omega_{\alpha_i} + \frac{2}{3} k_i \right) - \frac{\omega_{\alpha_i}^2 + \left( \omega_{\alpha_{i-1}} + \frac{2}{3} k_i \right)^2}{\omega_{\alpha_{i-1}} + \omega_{\alpha_i} + \frac{2}{3} n_i}; \quad (3)$$

$$\frac{1}{P_{\lg s_k(i)}} = \left( \omega_{s_i} + \frac{2}{3} [R]_1^k \right) - \frac{\omega_{s_i}^2 + \left( \omega_{s_{i-1}} + \frac{2}{3} [R]_1^k \right)^2}{\omega_{s_{i-1}} + \omega_{s_i} + \frac{2}{3} [R]_1^{n_i}}, \quad (4)$$

где  $i=1, 2, 3, \dots, \lambda$  — части ряда,  $k_i$  — число треугольников  $i$ -й части ряда, используемых для передачи азимута или вычисления длины  $k$ -й связующей стороны, а  $n_i$  — общее число треугольников в этой части ряда.

Если принять, что ряд состоит из правильных треугольников и имеет место равенство

$$\frac{m_s}{s} = \frac{m''_\beta}{\rho''} = \frac{m'_\alpha}{\rho''}, \quad (5)$$

то  $\omega_\alpha = 1,0$ , а  $\omega_s = 4,5$ . При этих условиях выражения (3) и (4) могут быть записаны как

$$\frac{1}{P_{\alpha_k(i)}} = \frac{1}{3} (3,0 + 2k_i) - \frac{2(k_i^2 + 3k_i + 4,5)}{3(3,0 + n_i)}; \quad (6)$$

$$\frac{1}{P_{\lg s_k(i)}} = (4,5 + 3k_i) - \frac{3,0(k_i^2 + 3k_i + 4,5)}{3,0 + n_i}. \quad (7)$$

Погрешность определения величин  $\frac{1}{P}$  по формулам (3), (4), (6) и (7) зависит лишь от числа знаков после запятой, которые удерживаются при получении величин  $\omega$  и  $R$ .

Заметим, что для ряда из правильных треугольников величина  $\omega_s = \Delta_1^2 q_s = 4,5$  остается постоянной, не зависящей от длин сторон треугольника, если, конечно, сохраняется равенство (5).

Формулы (6) и (7) могут быть практически использованы во время предварительных расчетов величин средних квадратических ошибок вычисляемых сторон и их азимутов (дирекционных углов) при проектировании рядов с дополнительными линейными измерениями и азимутальными определениями.

Применим выражения (6) и (7) к ряду, состоящему из 12 треугольников в разных вариантах его структуры, при условии сохранения равенства (5), если части ряда будут с равным числом треугольников. Примем, что  $s = 2 \text{ км}$  и  $m_\beta = \pm 2''$ . Результаты вычислений сведем в табл. 1, причем условимся, что как в этой таблице, так и в других в графе «структуре ряда» под литерой  $A$  понимается ряд, проложенный между твердыми сторонами с твердыми их азимутами; литерой  $B$  — ряд, проложенный между измеренными выходными сторонами и определенными азимутами этих сторон;  $C$  — ряд с одной дополнительно измеренной стороной и определенным ее азимутом и, наконец, под литературой  $D$  — ряд с двумя дополнительно измеренными сторонами и определенными их азимутами.

Произведем расчет величин  $\frac{1}{P_\alpha}$  и  $\frac{1}{P_{\lg s}}$  средней стороны ряда с различным числом треугольников в нем (табл. 2).

Таблица 1  
Величины  $1:P_\alpha$  и  $1:P_{\lg s_i}$

Структура ряда	$1:P_\alpha_3$	$1:P_\alpha_6$	$1:P_{\lg s_3}$	$1:P_{\lg s_6}$	$1:P_{\lg s_9}$
$A$	1,50	2,00	1,50	6,75	9,00
$B$	2,10	2,50	2,10	9,00	11,25
$C$	1,30	—	1,30	6,00	—
$D$	0,86	0,95	0,86	3,85	4,30

Таблица 2  
Обратные веса средних сторон рядов

Структура ряда	n=16				n=12				n=8				n=4			
	$1:P_\alpha$	$1:P_{\lg s}$														
$A$	2,70	12,00	2,00	9,00	1,33	6,00	0,67	3,00								
$B$	2,80	14,25	2,50	11,25	1,84	8,25	1,17	5,25								

Данные, приведенные в табл. 1, убедительно показывают, как дополнительные измерения сторон треугольников и определение их азимутов положительно влияют на точность вычисленных сторон и азимутов этих сторон. Из табл. 2 вытекает, что даже при значительном числе треугольников в ряду пренебречь ошибками выходных сторон и их азимутов не следует, а уравнивание таких рядов производить под условием суммы квадратов поправок во все измеренные элементы ряда. Нужно отметить, что вопрос о влиянии дополнительных линейных изме-

рений и азимутальных определений на точность элементов ряда тесно связан с оптимальным соотношением весов производимых измерений. Вопрос этот достаточно сложен в теоретическом отношении и едва ли может быть решен в общем виде, так как указанное оптимальное соотношение весов является функцией целого ряда особенностей данного построения: количества треугольников, их формы, изломанности самого ряда. Кроме того, решение вопроса зависит и от величин заданных средних квадратических ошибок элементов ряда. Если ориентироваться на получение минимальных и примерно равных между собой величин поперечного и продольного сдвигов ряда, то близким к оптимальному соотношению весов будут их величины, определяемые равенством (5).

Ходовую линию для передачи координат наметим через вершины промежуточных углов ряда и весовые функции координат последней  $(n+1)$ -й вершины ряда запишем так:

$$f_{x_{n+1}} = 2,30 \cdot 10^6 \cdot s \{ (x_n - x_0) \Delta_0 (s_0) + 2,1 (Y_n - Y_0) (\alpha_0) + \\ + [1,2 (x_n - x)(3j - 2)]_{n-1}^1 - [1,2 (x_n - x)(3j - 1)]_{n-1}^1 + \\ + [-2,1 (Y_n - Y)(\mp 3j)]_{n-1}^1 + (x_{n+1} - x_n) \Delta_n (s_n) + 2,1 (Y_{n+1} - Y_n) (\alpha_n) \}, \quad (8)$$

$$f_{y_{n+1}} = 2,30 \cdot 10^6 \cdot s \{ (Y_n - Y_0) \Delta_0 (s_0) + 2,1 (x_n - x_0) (\alpha_0) + \\ + [1,2 (Y_n - Y)(3j - 2)]_{n-1}^1 - [1,2 (Y_n - Y)(3j - 1)]_{n-1}^1 + \\ + [2,1 (x_n - x)(\mp 3j)]_{n-1}^1 + 2,1 (x_{n+1} - x_n) (\alpha_n) + (Y_{n+1} - Y_n) \Delta_n (s_n) \}. \quad (9)$$

Следует иметь в виду, что при составлении выражений (8) и (9) для данного конкретного ряда начало каждой измеренной стороны служит конечной вершиной предыдущей части ходовой линии и началом следующей ее части. При этом связующие углы последнего треугольника каждой части ряда или треугольника, примыкающего к очередной измеренной стороне ряда, не будут принимать участие в образовании весовых функций координат его конечной вершины, а промежуточные углы соответствующих треугольников (в случае определения азимутов сторон) также не будут учитываться при их составлении.

Присоединим выражения (8) и (9) к условным уравнениям (1) и (2) и используем метод уравнивания в двух группах. Тогда при наличии в ряду дополнительных линейных измерений и азимутальных определений для ряда из правильных треугольников с неощутимой потерей точности при вычислениях за счет округления цифровых коэффициентов получим

$$\frac{1}{P_{x_{n+1}}} = \frac{1}{P_{y_{n+1}}} = Q \left\{ \sum_{i=1}^{i=\lambda} 0,125 (2n_i^3 - 3n_i^2 + 10n_i) + 1,125 \omega_a \sum_{i=1}^{i=\lambda} n_i^2 - \right. \\ \left. - \sum_{i=1}^{i=\lambda} \frac{1,7 n_i^3}{3n_i + 2\omega_s} - \sum_{i=1}^{i=\lambda} \frac{3[0,35 n_i(n_i - 1) + 1,05 \omega_a n_i]^2}{2n_i + 6\omega_a} \right\}. \quad (10)$$

$$\frac{1}{P_{y_{n+1}}} = \frac{1}{P_{x_{n+1}}} = Q \left\{ \sum_{i=1}^{i=\lambda} 0,125 (2n_i^3 - 3n_i^2 + 10n_i) + 0,25 \omega_s \sum_{i=1}^{i=\lambda} n_i^2 - \right. \\ \left. - \sum_{i=1}^{i=\lambda} \frac{[0,75 n_i(n_i - 1) + 2,25 \omega_s n_i]^2}{3n_i + 2\omega_s} - \sum_{i=1}^{i=\lambda} \frac{1,125 n_i^3}{2n_i + 6\omega_a} \right\}, \quad (11)$$

где  $Q = 5,30 \cdot 10^{-12} \cdot s^2 (s, m)$ .

Средние квадратические ошибки  $m_x$  и  $m_y$ , или ошибки соответственно поперечного и продольного сдвигов ряда, будем вычислять по формулам

$$m_{x_{n+1}} = m_{u_{n+1}} = \mp \mu \sqrt{\frac{1}{P_{x_{n+1}(u)}}} \text{ и } m_{y_{n+1}} = m_{t_{n+1}} = \pm \mu \sqrt{\frac{1}{P_{y_{n+1}(t)}}}. \quad (12)$$

Применим формулы (10), (11) и (12) к рядам с разным количеством треугольников и при различных их структурах —  $s=20$  км,  $m_\beta = \pm 0,7$  при сохранении зависимости между весами согласно (5).

Результаты вычислений сведем в табл. 3.

Таблица 3

Величины  $m_u$ ,  $m_t$  и  $M$  рядов треугольников, м

Структура ряда	$n=16$			$n=12$			$n=8$		
	$m_u$	$m_t$	$M$	$m_u$	$m_t$	$M$	$m_u$	$m_t$	$M$
<i>A</i>	$\pm 0,50$	$\pm 0,50$	$\pm 0,71$	$\pm 0,35$	$\pm 0,35$	$\pm 0,50$	$\pm 0,22$	$\pm 0,22$	$\pm 0,31$
<i>B</i>	0,66	0,65	0,93	0,45	0,48	0,66	0,28	0,28	0,40
<i>C</i>	0,39	0,40	0,56	0,32	0,29	0,43	0,22	0,18	0,28
<i>D</i>	0,35	0,34	0,49	0,25	0,22	0,33	0,19	0,17	0,25

Если в ряду будут дополнительно измерены только связующие стороны без определений их азимутов, то из формул (10) и (11) исключаются последние их члены, стоящие в фигурных скобках; при дополнительных же определениях только азимутов сторон — третий члены. И, наконец, если ряд будет уравниваться только под условием минимума суммы квадратов поправок в углы и рассматриваться как ряд между двумя твердыми сторонами с твердыми азимутами, то указанные выше равенства могут быть приведены к такому простому виду:

$$\frac{1}{P_{y_{n+1}}} = \frac{1}{P_{t_{n+1}}} = \frac{1}{P_{x_{n+1}}} = \frac{1}{P_{u_{n+1}}} = \frac{1}{3} s^2 \cdot 10^{-12} (n_3 + 8n), \quad (13)$$

где  $s$  — длина стороны треугольника (в м), а  $n$  — число треугольников в ряду.

2. Уравнивание рядов с дополнительно измеренными связующими сторонами и определенными азимутами этих сторон. Если предположить, например, что мы имеем ряд треугольников, в котором кроме азимутов выходных сторон определены азимуты еще нескольких связующих его сторон, то нормальные уравнения коррелат, соответствующие условным уравнениям вида (1), будут такими:

$$\left. \begin{aligned} [q\alpha\alpha] K_1 + [q\alpha\beta] K_2 + [q\alpha\gamma] K_3 + \dots + [q\alpha\lambda] K_\lambda + W_{\alpha_1} &= 0; \\ [q\alpha\beta] K_1 + [q\beta\beta] K_2 + [q\beta\gamma] K_3 + \dots + [q\beta\lambda] K_\lambda + W_{\alpha_2} &= 0; \\ \dots & \\ [q\alpha\lambda] K_1 + [q\beta\lambda] K_2 + [q\gamma\lambda] K_3 + \dots + [q\lambda\lambda] K_\lambda + W_{\alpha_\lambda} &= 0, \end{aligned} \right\} \quad (14)$$

где  $\alpha, \beta, \gamma, \dots, \lambda$  — преобразованные коэффициенты уравнений второй группы, а  $W_{\alpha_1}, W_{\alpha_2}, \dots, W_{\alpha_\lambda}$  — свободные члены, вычисленные по углам, исправленным первыми поправками.

Квадратичные члены уравнений (14) определяются из выражений:

$$[q\alpha\alpha] = \omega_{\alpha_0} + \omega_{\alpha_1} + \frac{2}{3}n_1 = Q_{\alpha};$$

$$[q\beta\beta] = \omega_{\alpha_1} + \omega_{\alpha_2} + \frac{2}{3}n_2 = Q_{\alpha};$$

$$[q\lambda\lambda] = \omega_{\alpha_{\lambda-1}} + \omega_{\alpha_\lambda} + \frac{2}{3}n_\lambda = Q_{\alpha}.$$

Неквадратичные члены вида  $[q\alpha\beta]$ ,  $[q\beta\gamma]$ , ...,  $[q(\lambda-1)\lambda]$  будут равны  $\omega_{\alpha_i}$ , а вида  $[q\alpha\gamma]$ ,  $[q\beta\delta]$ , ...,  $[q(\lambda-2)\lambda]$  — нулю.

В принятых обозначениях уравнения (14) записутся так:

$$\left. \begin{array}{l} Q_{\alpha_1}K_1 - \omega_{\alpha_1}K_2 + 0 \cdot K_3 + W_{\alpha_1} = 0; \\ - \omega_{\alpha_1}K_1 + Q_{\alpha_2}K_2 - \omega_{\alpha_2}K_3 + 0 \cdot K_4 + W_{\alpha_2} = 0; \\ 0 \cdot K_1 - \omega_{\alpha_2}K_2 + Q_{\alpha_3}K_3 - \omega_{\alpha_3}K_4 + W_{\alpha_3} = 0; \\ \dots \\ - \omega_{\alpha_{\lambda-2}}K_{\lambda-1} + Q_{\alpha_\lambda}K_\lambda + W_{\alpha_\lambda} = 0. \end{array} \right\} \quad (15)$$

Если рассматривать ряд треугольников, в котором кроме выходных сторон измерены еще несколько связующих, то, очевидно, нормальные уравнения коррелят, соответствующие условным уравнениям (2), получим в таком виде:

$$\left. \begin{array}{l} Q_{s_1}K_1 - \omega_{s_1}K_2 + 0 \cdot K_3 + W_{s_1} = 0; \\ - \omega_{s_1}K_1 + Q_{s_2}K_2 - \omega_{s_2}K_3 + 0 \cdot K_4 + W_{s_2} = 0; \\ 0 \cdot K_1 - \omega_{s_2}K_2 + Q_{s_3}K_3 - \omega_{s_3}K_4 + W_{s_3} = 0; \\ \dots \\ - \omega_{s_{\lambda-2}}K_{\lambda-1} + Q_{s_\lambda}K_\lambda + W_{s_\lambda} = 0, \end{array} \right\} \quad (16)$$

где  $Q_{s_i} = \omega_{s_{i-1}} + \omega_{s_i} + \frac{2}{3}[R]_i$ .

Таким образом, определив в ряду треугольников, построенном на одной выходной стороне, только азимуты его выходных сторон и нескольких связующих или измерив выходные стороны и несколько связующих при наличии азимута одной выходной стороны, мы получаем довольно элементарную систему нормальных уравнений коррелят, составление и решение которой не представляет трудностей.

Значительное упрощение вычислений при небольшом количестве частей ряда может быть достигнуто за счет готовых (стандартных) формул для вычисления коррелят (табл. 4).

При наличии же в данном ряду дополнительно измеренных связующих сторон с определением их азимутов объем вычислений, связанных с составлением и решением нормальных уравнений, непрерывно возрастает с увеличением частей ряда. Поэтому для уравнивания таких рядов можно рекомендовать трехгрупповой метод с отнесением в первую группу условных уравнений фигур, во вторую — азимутов (ди-рекционных углов) и в третью — сторон. Этот метод уравнивания позволит, в частности, использовать указанные выше готовые формулы для вычисления коррелят, приведенные в табл. 4.

12

**Стандартные формулы для вычисления коррелат**

Структура ряда	$K_1(\alpha, s)$	$K_2(\alpha, s)$	$K_3(\alpha, s)$	Контрольная формула для $K_1$
Между двумя выходными сторонами ( $B$ )	$-\frac{W_1}{Q_1}$	—	—	—
Ряд разделен на две части ( $C$ )	$\frac{Q_2 K_2 + W_2}{\omega_1}$	$\frac{Q_1 W_2 + \omega_1 W_1}{Q_1 Q_2 - \omega_1^2}$	—	$\frac{\omega_1 K_2 - W_1}{Q_1}$
Ряд разделен на три части ( $D$ )	$\frac{Q_2 K_2 - \omega_2 K_3 + W_2}{\omega_1}$	$\frac{Q_3 K_3 + W_2}{\omega_2}$	$-\frac{Q_1 Q_2 W_3 + \omega_1 \omega_2 W_1 + Q_1 \omega_2 W_2 - \omega_1^2 W_3}{Q_1 Q_2 Q_3 - Q_1 \omega_2^2 - Q_1 \omega_1^2}$	$\frac{\omega_1 K_2 - W_1}{Q_1}$
			$Q_{si} = \omega_{\alpha_{i-1}} + \omega_{\alpha_i} + \frac{2}{3} n_i$	$Q_{si} = \omega_{\alpha_{i-1}} + \omega_{\alpha_i} + \frac{2}{3} [R]_i$

Таблица 5

Метод уравнивания в трех группах достаточно хорошо известен. Дадим без соответствующих выводов формулы для преобразования коэффициентов условных уравнений третьей группы (сторон):

$$\begin{aligned} A_{3j-2} &= \delta_{3j-2} - \frac{1}{3} \rho_j - \frac{1}{6n_i} \sum_1^{n_i} \rho_j, \\ A_{3j-1} &= -\delta_{3j-1} - \frac{1}{3} \rho_j - \frac{1}{6n_i} \sum_1^{n_i} \rho_j, \\ A_{3j} &= -\frac{1}{3n_i} \sum_1^{n_i} \rho_j - \frac{1}{3} \rho_j, \end{aligned} \quad (17)$$

где  $\rho_j = \delta_{3j-2} - \delta_{3j-1}$ .

Таким образом, при уравнивании рядов с дополнительно измеренными связующими сторонами и определенными их азимутами (дирекционными углами) нужно свойственные данной структуре ряда условные уравнения разделить на три группы. Определение величин поправок в углы производится в обычном порядке: первые поправки равны одной третьей части угловой невязки в треугольнике, а вторые и третии вычисляются через соответствующие коррелаты ( $K_\alpha$  и  $K_s$ ). Что касается вычисления поправок в определенные азимуты (дирекционные углы), то для выходных сторон они будут  $v_{\alpha_0} = q_{\alpha_0} K_{\alpha_1}$  и  $v_{\alpha_n} = -q_{\alpha_n} K_{\alpha_n}$ , а для общих (смежных) сторон частей ряда —  $v_{\alpha_i} = q_{\alpha_{i-1}} K_{\alpha_i} - q_{\alpha_i} K_{\alpha_{i+1}}$ . Поправки в выходные стороны вычисляются по формулам

$$v_{s_0} = q_{s_0} \Delta_0 K_{s_1} \text{ и } v_{s_n} = -q_{s_n} \Delta_n K_{s_n},$$

а в смежные стороны

$$v_{s_i} = q_{s_{i-1}} \Delta_{s_{i-1}} K_{s_i} - q_{s_i} \Delta_{s_i} K_{s_{i+1}}.$$

Все приведенные соображения по методу уравнивания рядов в разных их структурах и соответствующие расчетные формулы могут найти практическое применение при построении и модернизации государственной опорной геодезической сети.

Изложенный метод практически применен при уравнивании звена I-го класса, состоящего из 12 треугольников в четырех вариантах его структуры ( $A, B, C, D$ ). Здесь не даются полностью результаты уравнительных вычислений. Для иллюстрации же изменения величин поправок в углы треугольников ряда при уравнивании его в указанных выше вариантах в табл. 5 приведены данные по двум треугольникам.

Отметим, что средние квадратические ошибки единицы веса по результатам уравнивания получились такими:  $\mu_A = \pm 0,80$ ;  $\mu_B = \pm 0,88$ ;  $\mu_C = \pm 0,91$  и  $\mu_D = \pm 0,94$ .

Работа поступила в редакцию 15 мая 1972 года.  
Рекомендована кафедрой геодезии и маркшейдерского  
дела Криворожского горнорудного института.